

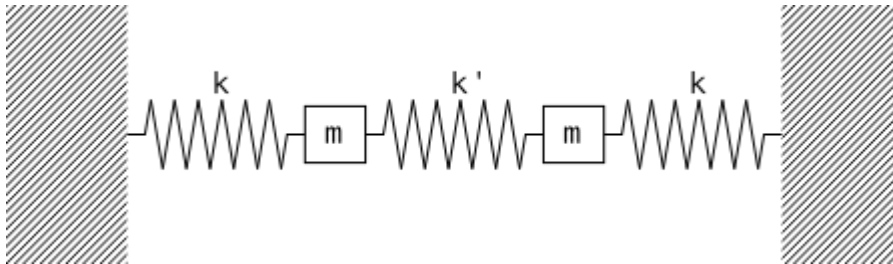
Modelação de Sistemas Físicos - Aula Prática nº12

Realização e resolução de problemas sobre Cap. 6:

- Osciladores acoplados

Exercício 1: Oscilador Acoplado

Considere dois corpos A e B acoplados através de uma mola de constante elástica k' , e ligados a um ponto fixo através de molas de constante elástica k .



Considere:

$$k = 1 \text{ N/m}$$

$$k' = 0.5 \text{ N/m}$$

$$m = 1 \text{ kg}$$

$$x_{A,\text{eq}} = 1 \text{ m}$$

$$x_{B,\text{eq}} = 2 \text{ m}$$

a) Encontre a lei de movimento dos dois corpos numericamente, para as seguintes condições iniciais:

i) $x_{A,t=0} = x_{A,\text{eq}} + 0.3 \text{ m}$, $x_{\{B\},t=0} = x_{B,\text{eq}} + 0.3 \text{ m}$, $v_{A,t=0} = v_{B,\text{eq}} = 0 \text{ m/s}$.

ii) $x_{A,t=0} = x_{A,\text{eq}} + 0.3 \text{ m}$, $x_{\{B\},t=0} = x_{B,\text{eq}} - 0.3 \text{ m}$, $v_{A,t=0} = v_{B,\text{eq}} = 0 \text{ m/s}$.

iii) $x_{A,t=0} = x_{A,\text{eq}} + 0.3 \text{ m}$, $x_{\{B\},t=0} = x_{B,\text{eq}} - 0.1 \text{ m}$, $v_{A,t=0} = v_{B,\text{eq}} = 0 \text{ m/s}$.

Solução do caso i):

$$x_{A,t=0} = x_{A,\text{eq}} + 0.3 \text{ m}, x_{\{B\},t=0} = x_{B,\text{eq}} + 0.3 \text{ m}, v_{A,t=0} = v_{B,t=0} = 0 \text{ m/s}.$$

A força total na massa A que resulta do seu posicionamento arbitrário das massas nas coordenadas x_A e x_B , é dada por:

$$F_A = -k(x_A - x_{A,\text{eq}}) - k'(x_A - x_{A,\text{eq}}) + k'(x_B - x_{B,\text{eq}}),$$

que pode ser simplificado:

$$F_A = -(k + k')(x_A - x_{A,eq}) + k'(x_B - x_{B,eq}).$$

De forma analoga, para a massa B temos:

$$F_B = -(k + k')(x_B - x_{B,eq}) + k'(x_A - x_{A,eq}).$$

Assim sendo, as acelerações das massas são:

$$a_A = [k'(x_B - x_{B,eq}) - (k + k')(x_A - x_{A,eq})]/m$$

$$a_B = [k'(x_A - x_{A,eq}) - (k + k')(x_B - x_{B,eq})]/m$$

É útil enfatizar as dependências temporais:

$$a_{A,t} = [k'(x_{B,t} - x_{B,eq}) - (k + k')(x_{A,t} - x_{A,eq})]/m$$

$$a_{B,t} = [k'(x_{A,t} - x_{A,eq}) - (k + k')(x_{B,t} - x_{B,eq})]/m$$

ou de forma mais compacta:

$$a_{A,t} = [k'\Delta x_B - (k + k')\Delta x_A]/m$$

$$a_{B,t} = [k'\Delta x_A - (k + k')\Delta x_B]/m$$

em que $\Delta x_i = x_{i,t} - x_{i,eq}$.

Podemos então usar o método de Euler-Cromer para obter a lei de movimento dos dois corpos:

```
In [1]: import numpy as np
import matplotlib.pyplot as plt

# Domínio e amostragem temporal
t0 = 0.0 # condição inicial, tempo [s]
tf = 200.0 # limite do domínio, tempo final [s]
dt = 0.001 # passo [s]
t = np.arange(t0, tf, dt) # sequencia de tempo [s]

# Constantes físicas
k = 1.0 # constante da mola entre massa e ponto fixo [N/m]
kp = 0.5 # constante da mola entre massas [N/m]
m = 1.0 # massa [kg]

# inicializar solução
N = 2 # número de massas
xeq = np.zeros(N) # posição de equilíbrio das massas [m]
x = np.zeros((N, np.size(t))) # posição [m]
v = np.zeros((N, np.size(t))) # velocidade [m/s]
a = np.zeros((N, np.size(t))) # aceleração [m/s2]

x1 = np.zeros((N, np.size(t))) # posição das massas no problema (i) [m]
x2 = np.zeros((N, np.size(t))) # posição das massas no problema (ii) [m]
x3 = np.zeros((N, np.size(t))) # posição das massas no problema (iii) [m]

# condições iniciais
xeq = np.array([ 1.0, 2.0 ]) # posição de equilíbrio das massas [m]
x[:, 0] = xeq # condição inicial, posição inicial [m]
x[:, 0] += np.array([ +0.3, +0.3 ]) # condição inicial, velocidade inicial [m/s]
v[:, 0] = np.array([ 0, 0 ])

# método de Euler-Cromer
for i in range(np.size(t) - 1):
```

```

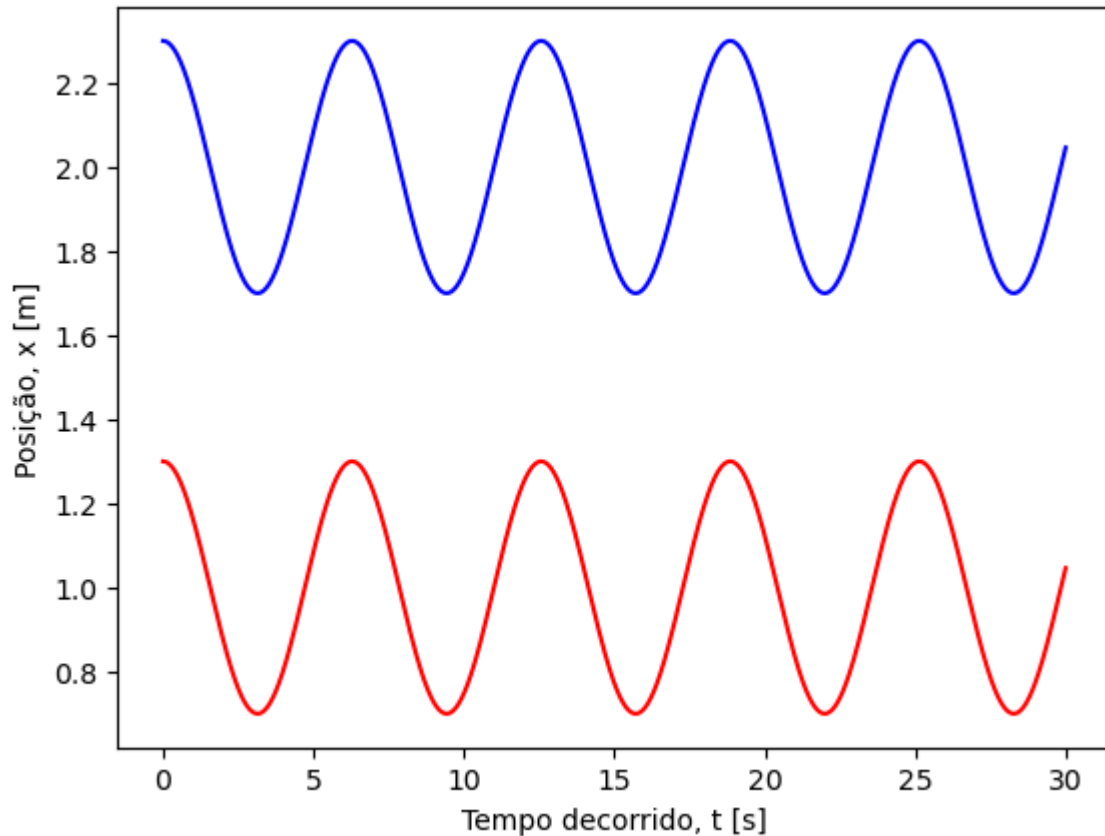
a[0, i] = ( kp * (x[1, i] - xeq[1]) - (k + kp) * (x[0, i] - xeq[0]) ) / m
a[1, i] = ( kp * (x[0, i] - xeq[0]) - (k + kp) * (x[1, i] - xeq[1]) ) / m
v[:, i + 1] = v[:, i] + a[:, i] * dt
x[:, i + 1] = x[:, i] + v[:, i+1] * dt

# Reservamos as posições para mais tarde (Exercício 2)
x1 = x.copy()

# Encontrar o índice para t = 30 s
it=np.size(t[t<30])

plt.plot(t[0:it], x1[0, 0:it], 'r-', t[0:it], x1[1, 0:it], 'b-')
plt.xlabel("Tempo decorrido, t [s]")
plt.ylabel("Posição, x [m]")
plt.show()

```



Solução do caso ii):

$$x_{A,t=0} = x_{A,eq} + 0.3 \text{ m}, x_{B,t=0} = x_{B,eq} - 0.3 \text{ m}, v_{A,t=0} = v_{B,t=0} = 0 \text{ m/s}.$$

```

In [2]: # condições iniciais
xeq = np.array([ 1.0, 2.0 ])          # posição de equilíbrio das massas [m]
x[:, 0] = xeq                        # condição inicial, posição inicial [m]
x[:, 0] += np.array([ +0.3, -0.3 ])
v[:, 0] = np.array([ 0, 0 ])         # condição inicial, velocidade inicial [m/s]

# método de Euler-Cromer
for i in range(np.size(t) - 1):
    a[0, i] = ( kp * (x[1, i] - xeq[1]) - (k + kp) * (x[0, i] - xeq[0]) ) / m
    a[1, i] = ( kp * (x[0, i] - xeq[0]) - (k + kp) * (x[1, i] - xeq[1]) ) / m
    v[:, i + 1] = v[:, i] + a[:, i] * dt
    x[:, i + 1] = x[:, i] + v[:, i+1] * dt

# Reservamos as posições para mais tarde (Exercício 2)
x2 = x.copy()

# Encontrar o índice para t = 30 s

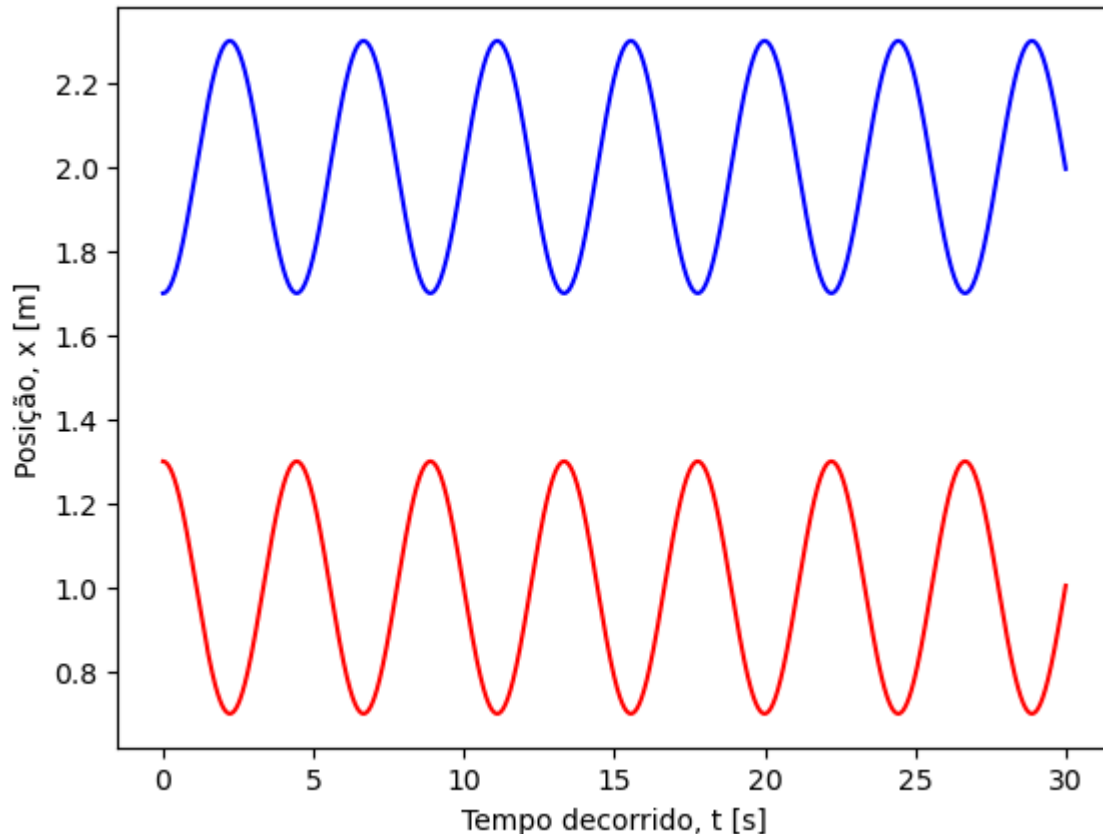
```

```

it=np.size(t[t<30])

plt.plot(t[0:it], x2[0, 0:it], 'r-', t[0:it], x2[1, 0:it], 'b-')
plt.xlabel("Tempo decorrido, t [s]")
plt.ylabel("Posição, x [m]")
plt.show()

```



Solução do caso iii):

$$x_{A,t=0} = x_{A,\text{eq}} + 0.3 \text{ m}, x_{B,t=0} = x_{B,\text{eq}} - 0.1 \text{ m}, v_{A,t=0} = v_{B,t=0} = 0 \text{ m/s}.$$

```

In [3]: # condições iniciais
xeq = np.array([ 1.0, 2.0 ])           # posição de equilíbrio das massas [m]
x[:, 0] = xeq                         # condição inicial, posição inicial [m]
x[:, 0] += np.array([ +0.3, -0.1 ])   # condição inicial, posição inicial [m]
v[:, 0] = np.array([ 0, 0 ])          # condição inicial, velocidade inicial [m/s]

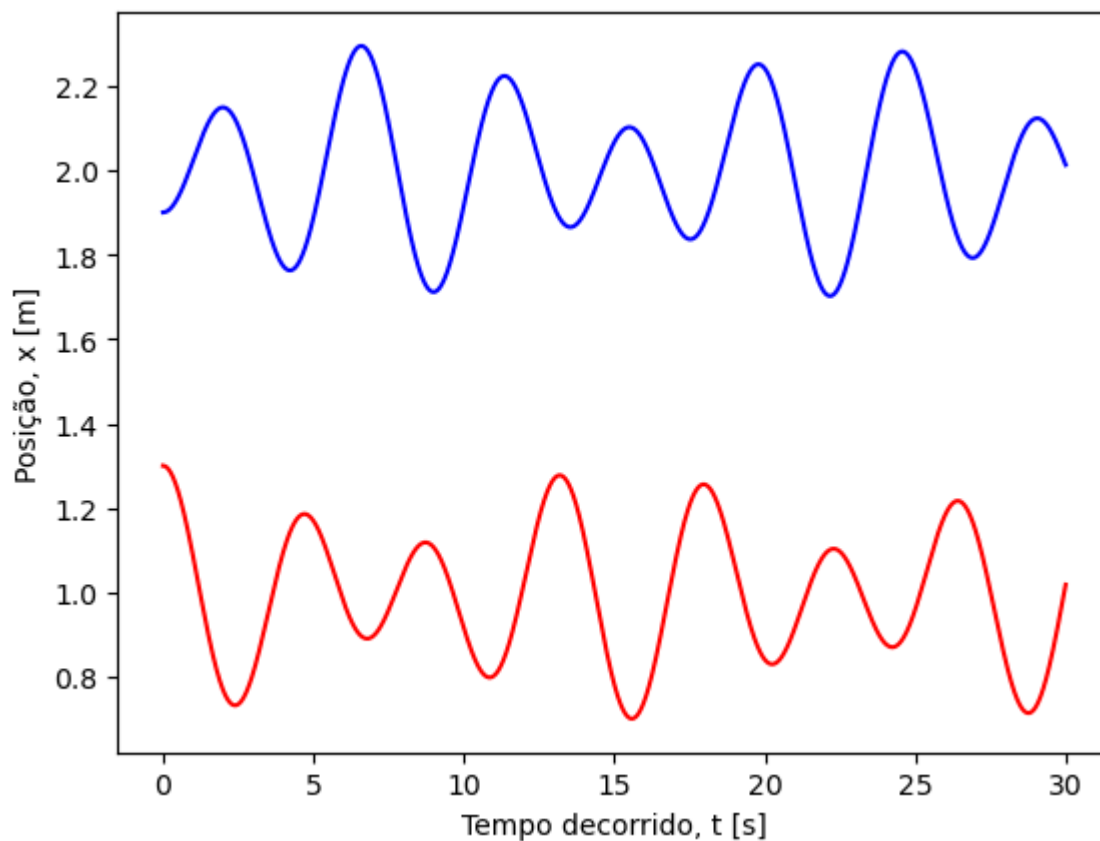
# método de Euler-Cromer
for i in range(np.size(t) - 1):
    a[0, i] = ( kp * (x[1, i] - xeq[1]) - (k + kp) * (x[0, i] - xeq[0]) ) / m
    a[1, i] = ( kp * (x[0, i] - xeq[0]) - (k + kp) * (x[1, i] - xeq[1]) ) / m
    v[:, i + 1] = v[:, i] + a[:, i] * dt
    x[:, i + 1] = x[:, i] + v[:, i+1] * dt

# Reservamos as posições para mais tarde (Exercício 2)
x3 = x.copy()

# Encontrar o índice para t = 30 s
it=np.size(t[t<30])

plt.plot(t[0:it], x3[0, 0:it], 'r-', t[0:it], x3[1, 0:it], 'b-')
plt.xlabel("Tempo decorrido, t [s]")
plt.ylabel("Posição, x [m]")
plt.show()

```



b) Como caracteriza o movimento dos corpos em cada um dos três casos?

- O primeiro caso (i) envolve o movimento em fase das duas massas, resultando na ação das duas molas ligadas ao ponto fixo com constante de força $k = 1.0 \text{ N/m}$ (a mola central não atua);
- O segundo caso (ii) envolve o movimento em oposição de fase das duas massas, resultando na ação das três molas;
- O terceiro caso (iii) é mais complexo e envolve a ação das três molas. Aparece ser uma onda com a frequência do caso ii) modulada por uma amplitude de baixa frequência.

Pergunta 1:

Como seria o movimento das massas se k' fosse igual a zero?

Exercício 2: Oscilador Acoplado: Solução Analítica

O movimento do oscilador acoplado do exercício anterior pode ser descrito como uma sobreposição de dois modos normais, cada um sendo um movimento harmónico simples:

$$\begin{cases} x_A = x_{A,\text{eq}} + A_1 \cos(\omega_1 t + \phi_1) + A_2 \cos(\omega_2 t + \phi_2) \\ x_B = x_{B,\text{eq}} + A_1 \cos(\omega_1 t + \phi_1) - A_2 \cos(\omega_2 t + \phi_2) \end{cases}$$

As frequências angulares dos modos normais são:

$$\omega_1 = \sqrt{\frac{k}{m}} \text{ e } \omega_2 = \sqrt{\frac{k + 2k'}{m}}$$

a) Encontre os valores de A_1 , A_2 , ϕ_1 e ϕ_2 que correspondem a cada um dos três casos de exercício 1. Faça gráficos que comparem a solução teórica com a solução numérica para cada caso.

Solução:

Reescrevemos a equação das posições em termos de deslocamentos:

$$\begin{cases} \Delta x_A = A_1 \cos(\omega_1 t + \phi_1) + A_2 \cos(\omega_2 t + \phi_2) \\ \Delta x_B = A_1 \cos(\omega_1 t + \phi_1) - A_2 \cos(\omega_2 t + \phi_2) \end{cases}$$

onde $\Delta x_i = x_i - x_{i,eq}$, e escrevemos as equações das velocidades respectivas (derivando no tempo):

$$\begin{cases} v_A = -A_1 \omega_1 \sin(\omega_1 t + \phi_1) - A_2 \omega_2 \sin(\omega_2 t + \phi_2) \\ v_B = -A_1 \omega_1 \sin(\omega_1 t + \phi_1) + A_2 \omega_2 \sin(\omega_2 t + \phi_2) \end{cases}$$

Em cada um dos sistemas, adicionamos e subtraímos ambos os membros das equações, para obter:

$$\begin{cases} \Delta x_A + \Delta x_B = 2A_1 \cos(\omega_1 t + \phi_1) \\ \Delta x_A - \Delta x_B = 2A_2 \cos(\omega_2 t + \phi_2) \end{cases}$$

e para as velocidades:

$$\begin{cases} v_A + v_B = -2A_1 \omega_1 \sin(\omega_1 t + \phi_1) \\ v_B - v_A = -2A_2 \omega_2 \sin(\omega_2 t + \phi_2) \end{cases}$$

É conveniente converter o sistema de equações das velocidades para unidades de distância, usando $\omega_i = 2\pi/T_i$ (poderemos assim, quando necessário, realizar operações algébricas diretas entre os membros):

$$\begin{cases} \Delta x_A + \Delta x_B = 2A_1 \cos(\omega_1 t + \phi_1) \\ \Delta x_A - \Delta x_B = 2A_2 \cos(\omega_2 t + \phi_2) \\ (v_A + v_B)T_1 = -4\pi A_1 \sin(\omega_1 t + \phi_1) \\ (v_B - v_A)T_2 = -4\pi A_2 \sin(\omega_2 t + \phi_2) \end{cases}$$

Para o caso (i), temos as seguintes condições iniciais:

$$\begin{cases} t = 0 \\ \Delta x_A = \Delta x_B = 0.3 \text{ m} \\ v_A = v_B = 0 \text{ m/s} \end{cases}$$

O sistema de equações consiste em:

$$\begin{cases} 0.6 = 2A_1 \cos \phi_1 \\ 0 = 2A_2 \cos \phi_2 \\ 0 = \sin \phi_1 \\ 0 = \sin \phi_2 \end{cases}$$

que se traduz nas seguintes soluções:

$$\begin{cases} A_1 = 0.3 \text{ m} \\ A_2 = 0 \text{ m} \\ \phi_1 = 0 \text{ rad} \\ \phi_2 = 0 \text{ rad} \end{cases}$$

Podemos agora codificar em Python, começando pela definição das frequências, assim como das posições (cálculo teórico):

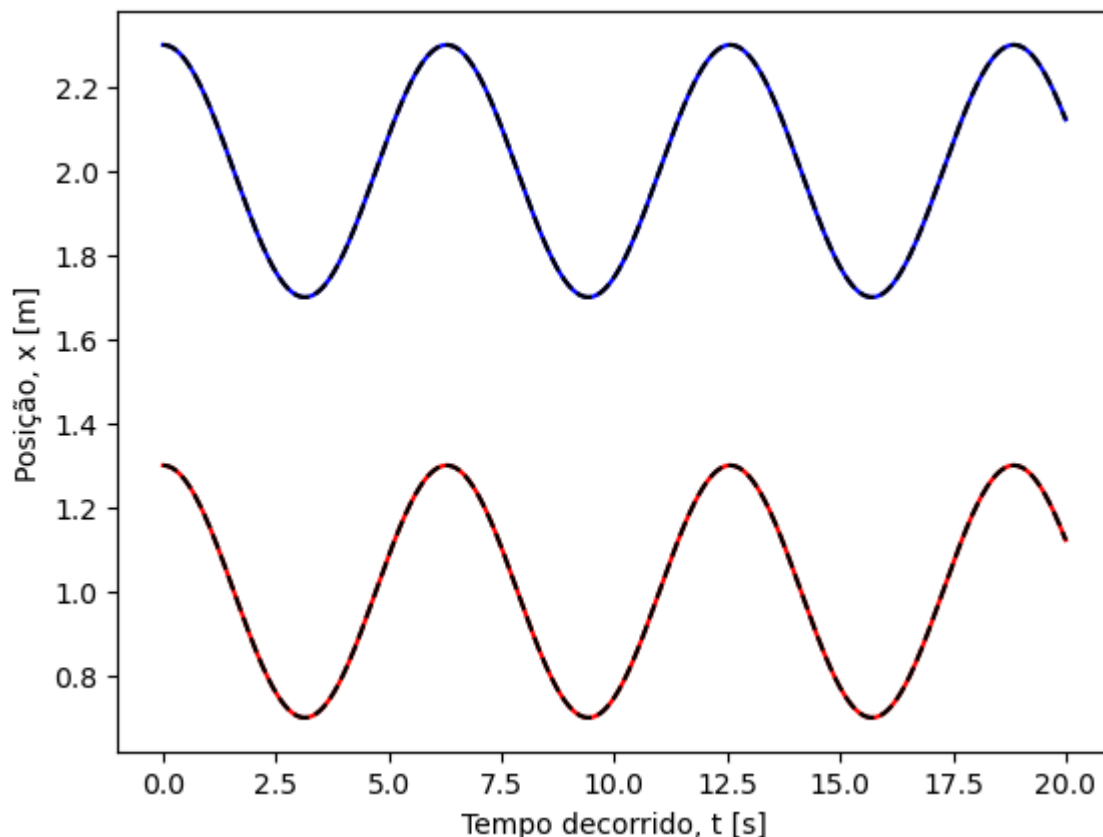
```
In [4]: w1 = np.sqrt(k / m)
w2 = np.sqrt((k + 2 * kp) / m)
xA_teorico = np.zeros(np.size(t))
xB_teorico = np.zeros(np.size(t))
```

Seguimos agora para a solução das equações de movimento (cálculo teórico):

```
In [5]: A1 = 0.3
A2 = 0
phi1 = 0
phi2 = 0
xA_teorico = xeq[0] + A1 * np.cos(w1 * t + phi1) + A2 * np.cos(w2 * t + phi2)
xB_teorico = xeq[1] + A1 * np.cos(w1 * t + phi1) - A2 * np.cos(w2 * t + phi2)

# Encontrar o índice para t = 20 s
it=np.size(t[t<20])

plt.plot(t[0:it], x1[0, 0:it], 'r-', t[0:it], x1[1, 0:it], 'b-')
plt.plot(t[0:it], xA_teorico[0:it], 'k--', t[0:it], xB_teorico[0:it], 'k--')
plt.xlabel("Tempo decorrido, t [s]")
plt.ylabel("Posição, x [m]")
plt.show()
```



Para o caso (ii), temos as seguintes condições iniciais:

$$\begin{cases} t = 0 \\ \Delta x_A = -\Delta x_B = 0.3 \text{ m} \\ v_A = v_B = 0 \text{ m/s} \end{cases}$$

O sistema de equações consiste em:

$$\begin{cases} 0 = 2A_1 \cos \phi_1 \\ 0.6 = 2A_2 \cos \phi_2 \\ 0 = \sin \phi_1 \\ 0 = \sin \phi_2 \end{cases}$$

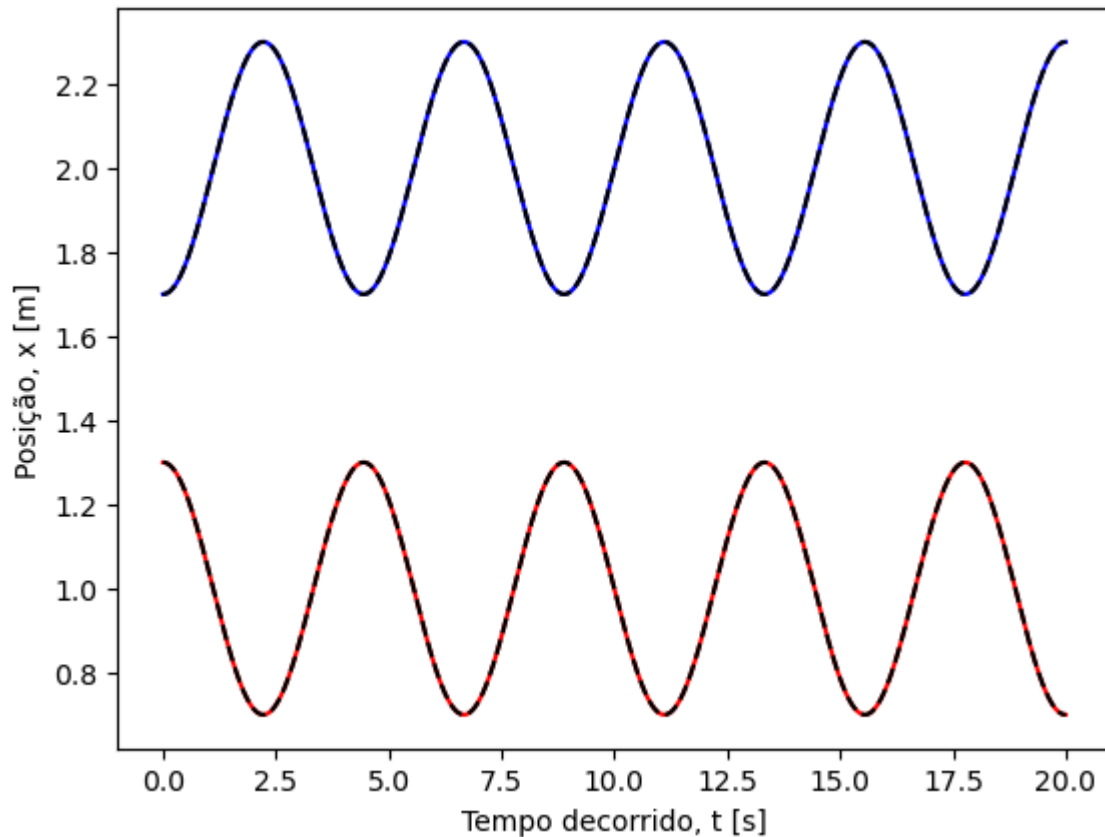
que se traduz nas seguintes soluções:

$$\begin{cases} A_1 = 0 \text{ m} \\ A_2 = 0.3 \text{ m} \\ \phi_1 = 0 \text{ rad} \\ \phi_2 = 0 \text{ rad} \end{cases}$$

```
In [6]: A1 = 0.0
A2 = 0.3
phi1 = 0
phi2 = 0
xA_teorico = xeq[0] + A1 * np.cos(w1 * t + phi1) + A2 * np.cos(w2 * t + phi2)
xB_teorico = xeq[1] + A1 * np.cos(w1 * t + phi1) - A2 * np.cos(w2 * t + phi2)

# Encontrar o índice para t = 20 s
it=np.size(t[t<20])

plt.plot(t[0:it], x2[0, 0:it], 'r-', t[0:it], x2[1, 0:it], 'b-')
plt.plot(t[0:it], xA_teorico[0:it], 'k--', t[0:it], xB_teorico[0:it], 'k--')
plt.xlabel("Tempo decorrido, t [s]")
plt.ylabel("Posição, x [m]")
plt.show()
```



Para o caso (iii), temos as seguintes condições iniciais:

$$\begin{cases} t = 0 \\ \Delta x_A = 0.3 \text{ m} \\ \Delta x_B = -0.1 \text{ m} \\ v_A = v_B = 0 \text{ m/s} \end{cases}$$

O sistema de equações consiste em:

$$\begin{cases} 0.2 = 2A_1 \cos \phi_1 \\ 0.4 = 2A_2 \cos \phi_2 \\ 0 = \sin \phi_1 \\ 0 = \sin \phi_2 \end{cases}$$

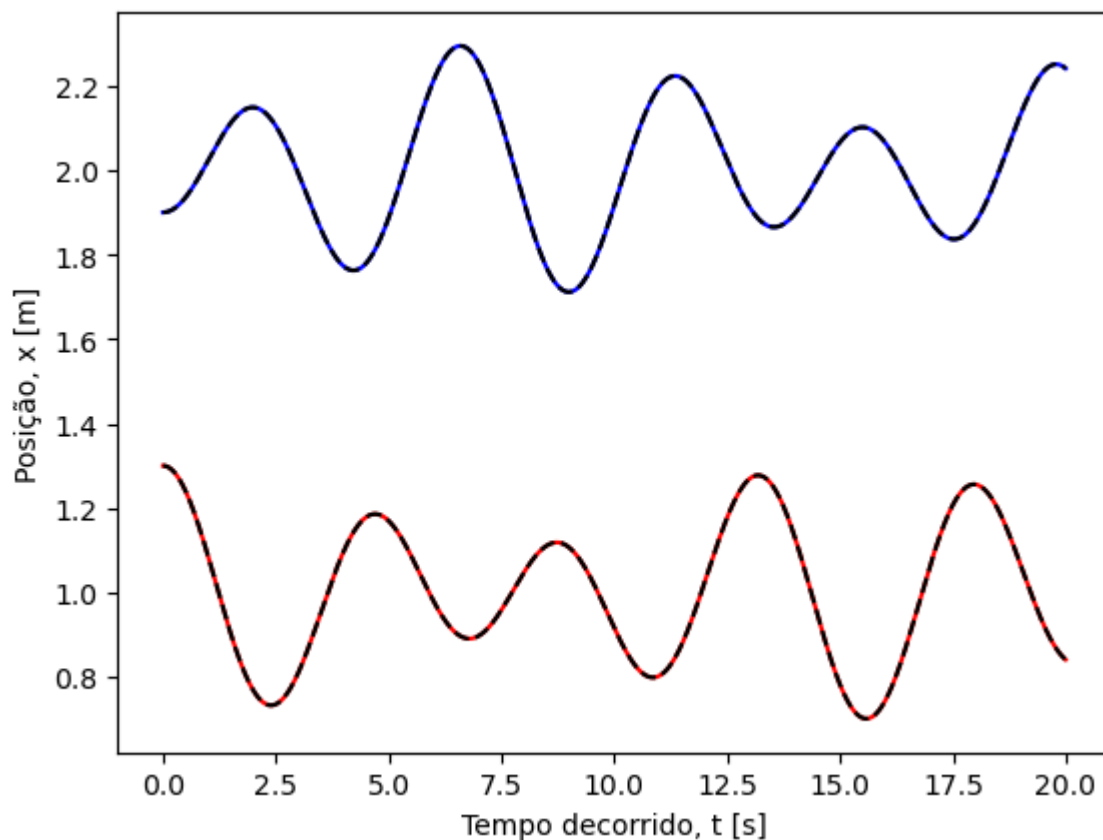
que se traduz nas seguintes soluções:

$$\begin{cases} A_1 = 0.1 \text{ m} \\ A_2 = 0.2 \text{ m} \\ \phi_1 = 0 \text{ rad} \\ \phi_2 = 0 \text{ rad} \end{cases}$$

```
In [7]: A1 = 0.1
A2 = 0.2
phi1 = 0
phi2 = 0
xA_teorico = xeq[0] + A1 * np.cos(w1 * t + phi1) + A2 * np.cos(w2 * t + phi2)
xB_teorico = xeq[1] + A1 * np.cos(w1 * t + phi1) - A2 * np.cos(w2 * t + phi2)

# Encontrar o índice para t = 20 s
it=np.size(t[t<20])

plt.plot(t[0:it], x3[0, 0:it], 'r-', t[0:it], x3[1, 0:it], 'b-')
plt.plot(t[0:it], xA_teorico[0:it], 'k--', t[0:it], xB_teorico[0:it], 'k--')
plt.xlabel("Tempo decorrido, t [s]")
plt.ylabel("Posição, x [m]")
plt.show()
```



Exercício 3: Análise com Série de Fourier

Considere outra vez o sistema de exercício 1, e os três casos de condições iniciais:

$$\text{i) } x_{A,t=0} = x_{A,\text{eq}} + 0.3 \text{ m}, x_{\{B\},t=0} = x_{B,\text{eq}} + 0.3 \text{ m}, v_A(t=0) = v_{B,\text{eq}} = 0 \text{ m/s}.$$

$$\text{ii) } x_{A,t=0} = x_{A,\text{eq}} + 0.3 \text{ m}, x_{\{B\},t=0} = x_{B,\text{eq}} - 0.3 \text{ m}, v_A(t=0) = v_{B,\text{eq}} = 0 \text{ m/s}.$$

$$\text{iii) } x_{A,t=0} = x_{A,\text{eq}} + 0.3 \text{ m}, x_{\{B\},t=0} = x_{B,\text{eq}} - 0.1 \text{ m}, v_A(t=0) = v_{B,\text{eq}} = 0 \text{ m/s}.$$

Solução:

Suponhamos que existe uma função arbitrária $x(t)$, para a qual dispomos unicamente de uma sequência de pares:

$$(x_p, t_p), \text{ em que } x_p = x(t_p).$$

A função $x(t)$ pode ser descrita por uma série de Fourier,

$$x(t) = \frac{a_0}{2} + \sum_{n>0} (a_n \cos \omega_n t + b_n \sin \omega_n t),$$

em que as frequências $\omega_n = 2\pi n/T$ são harmônicos baseados no período da função x , e os coeficientes de Fourier optêm-se por integração,

$$\begin{cases} a_n = \frac{2}{T} \int_0^T x(t) \cos(\omega_n t) dt \\ b_n = \frac{2}{T} \int_0^T x(t) \sin(\omega_n t) dt, \end{cases}$$

integração essa que pode ser numérica (aproximação trapezoidal). Esse método é implementado na função `abfourier(tp, xp, it0, it1, nf)`, cujos parâmetros são:

- `tp`, coordenadas no tempo, t_p
- `xp`, ordenadas x_p , correspondentes a $x_p = x(t_p)$
- `it0` e `it1`, limites inferior e superior de integração tal que $T = t_{it1} - t_{it0}$
- `nf`, índice dos coeficientes de Fourier a calcular,

A função devolve:

- `af` e `bf`, coeficientes (a_{nf}, b_{nf}) correspondentes ao índice `nf`

```
In [8]: def abfourier(tp,xp,it0,it1,nf):
# cálculo dos coeficientes de Fourier a_nf e b_nf
# a_nf = 2/T integral ( xp cos( nf w ) ) dt entre tp(it0) e tp(it1)
# b_nf = 2/T integral ( xp sin( nf w ) ) dt entre tp(it0) e tp(it1)
# integracao numerica pela aproximação trapezoidal
# input: matrizes tempo tp (abcissas)
# posição xp (ordenadas)
# indices inicial it0
# final it1 (ao fim de um período)
# nf índice de Fourier
# output: af_bf e bf_nf
dt=tp[1]-tp[0]
per=tp[it1]-tp[it0]
ome=2*np.pi/per
s1=xp[it0]*np.cos(nf*ome*tp[it0])
s2=xp[it1]*np.cos(nf*ome*tp[it1])
st=xp[it0+1:it1]*np.cos(nf*ome*tp[it0+1:it1])
soma=np.sum(st)
q1=xp[it0]*np.sin(nf*ome*tp[it0])
q2=xp[it1]*np.sin(nf*ome*tp[it1])
qt=xp[it0+1:it1]*np.sin(nf*ome*tp[it0+1:it1])
```

```

somq=np.sum(qt)
intega=((s1+s2)/2+soma)*dt
af=2/per*intega
integq=((q1+q2)/2+somq)*dt
bf=2/per*integq
return af,bf

```

Para o caso (i)

```

In [9]: # Número de coeficientes de Fourier a considerar (excl n=0)
N = 30

# Vamos analisar a função no intervalo 50 s < t < 150 s
it0=np.size(t[t<50])
it1=np.size(t[t<150])

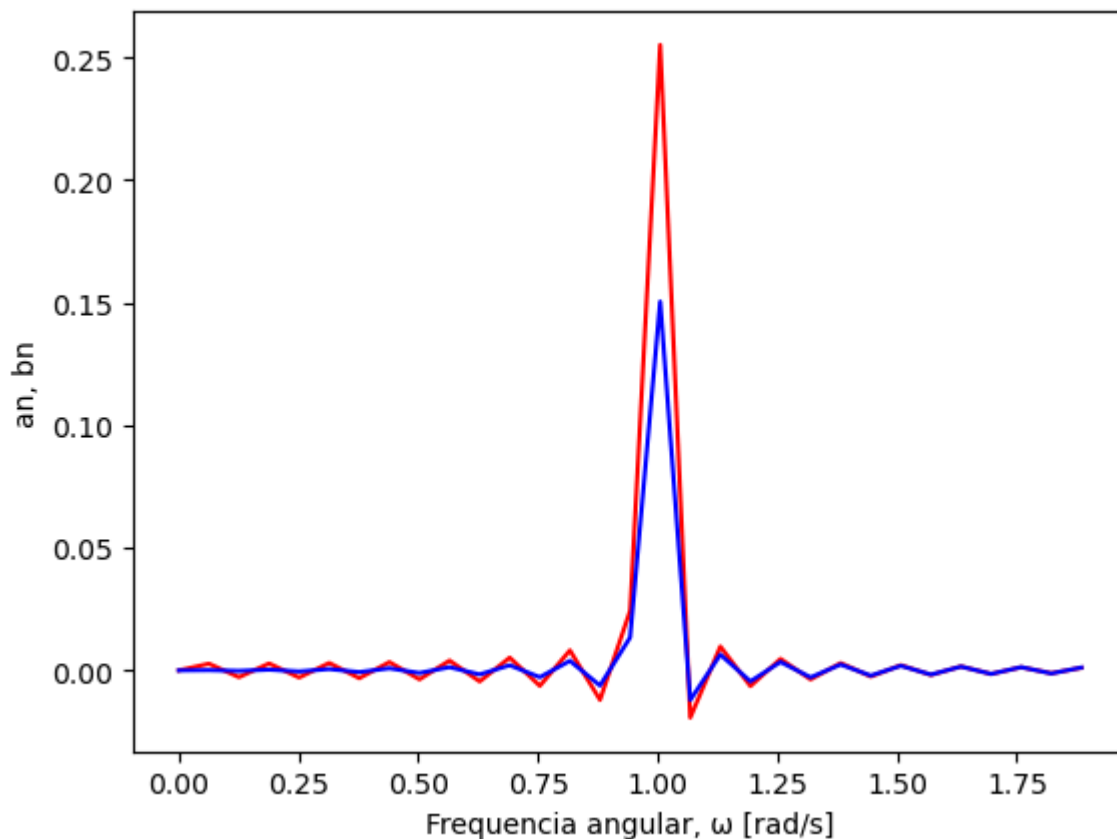
# Cálculo do período
T = t[it1] - t[it0]

# Inicializar coeficientes de Fourier
wn = np.zeros(N+1)
an = np.zeros(N+1)
bn = np.zeros(N+1)

# Loop nos coeficientes de Fourier
for n in range(1, N + 1):
    an[n], bn[n] = abfourier(t, x1[0,:], it0, it1, n)
    wn[n] = 2 * np.pi * n / T

plt.plot(wn, an, 'r-', wn, bn, 'b-')
plt.xlabel("Frequencia angular,  $\omega$  [rad/s]")
plt.ylabel("an, bn")
plt.show()

```



Verificamos um *pico* em $\omega = 1 \text{ rad/s}$, que corresponde a $\omega = \sqrt{k/m}$, ou seja, resulta do modo normal de vibração em que as massas vibram em fase.

Para o caso (ii)

```
In [10]: # Número de coeficientes de Fourier a considerar (excl n=0)
N = 30

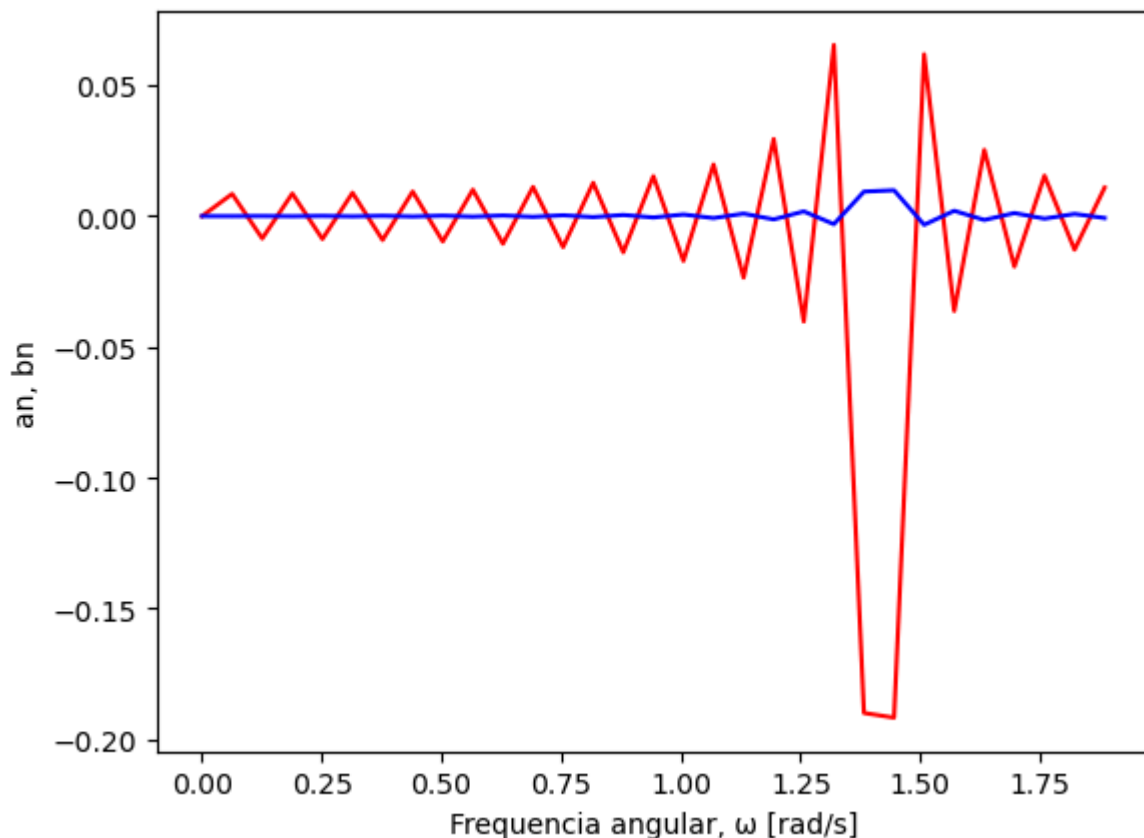
# Vamos analisar a função no intervalo 50 s < t < 150 s
it0=np.size(t[t<50])
it1=np.size(t[t<150])

# Cálculo do período
T = t[it1] - t[it0]

# Inicializar coeficientes de Fourier
wn = np.zeros(N+1)
an = np.zeros(N+1)
bn = np.zeros(N+1)

# Loop nos coeficientes de Fourier
for n in range(1, N + 1):
    an[n], bn[n] = abfourier(t, x2[0,:], it0, it1, n)
    wn[n] = 2 * np.pi * n / T

plt.plot(wn, an, 'r-', wn, bn, 'b-')
plt.xlabel("Frequencia angular,  $\omega$  [rad/s]")
plt.ylabel("an, bn")
plt.show()
```



Verificamos um *pico* em $\omega \approx 1.4 \text{ rad/s}$, que corresponde a $\omega = \sqrt{(k + 2k')/m}$, ou seja, resulta do modo normal de vibração em que as massas vibram em oposição de fase.

```
In [11]: print("w = sqrt((k+2kp)/m) = ", np.sqrt((k + 2 * kp) / m))
```

$$w = \sqrt{(k+2k_p)/m} = 1.4142135623730951$$

Para o caso (iii)

```
In [12]: # Número de coeficientes de Fourier a considerar (excl n=0)
N = 30

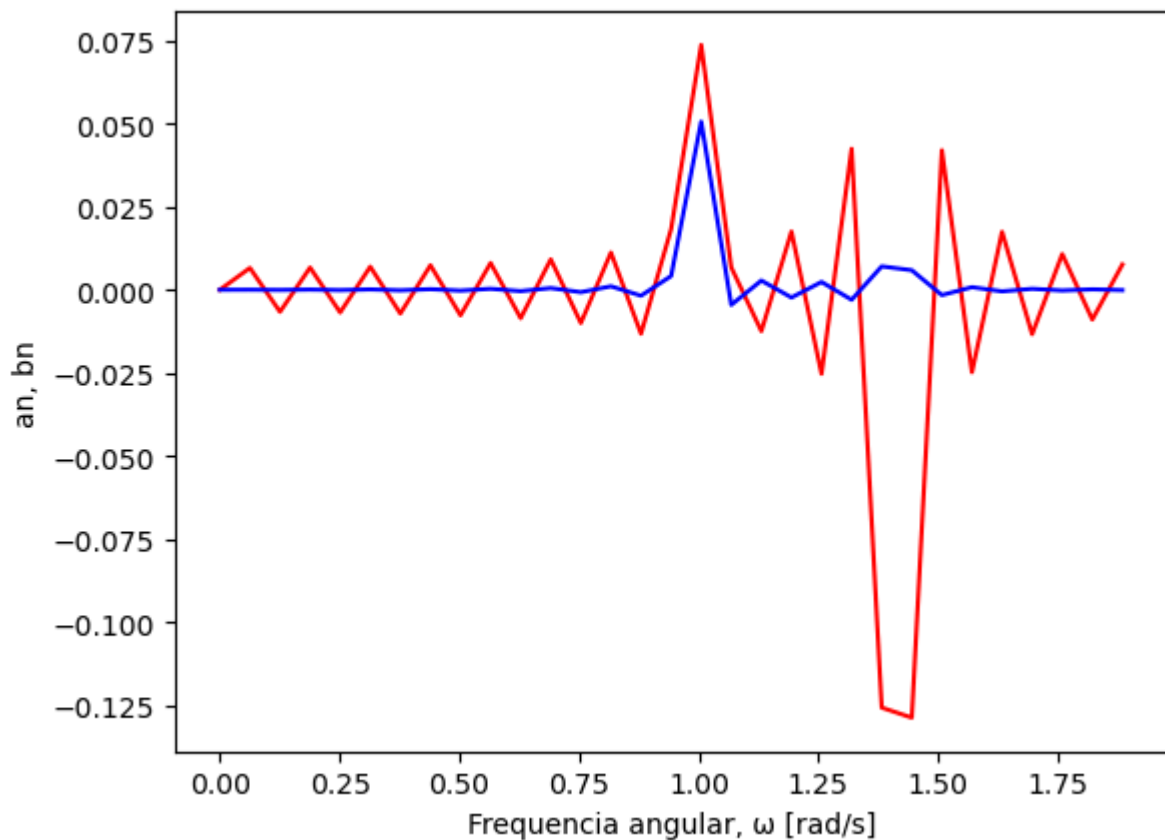
# Vamos analisar a função no intervalo 50 s < t < 150 s
it0=np.size(t[t<50])
it1=np.size(t[t<150])

# Cálculo do período
T = t[it1] - t[it0]

# Inicializar coeficientes de Fourier
wn = np.zeros(N+1)
an = np.zeros(N+1)
bn = np.zeros(N+1)

# Loop nos coeficientes de Fourier
for n in range(1, N + 1):
    an[n], bn[n] = abfourier(t, x3[0,:], it0, it1, n)
    wn[n] = 2 * np.pi * n / T

plt.plot(wn, an, 'r-', wn, bn, 'b-')
plt.xlabel("Frequencia angular, ω [rad/s]")
plt.ylabel("an, bn")
plt.show()
```



Verificamos dois picos em $\omega = \sqrt{k/m} = 1 \text{ rad/s}$ e em $\omega = \sqrt{(k + 2k')/m} \approx 1.4 \text{ rad/s}$. Desta forma concluímos que, pese embora as oscilações do caso (iii) não apresentem *ordem* temporal, a análise de Fourier mostra que o movimento das massas é composto pelos dois modos normais de vibração identificados.

Pergunta 2:

O que se observa no gráfico dos coeficientes Fourier? Comente na relação com a solução teórica.